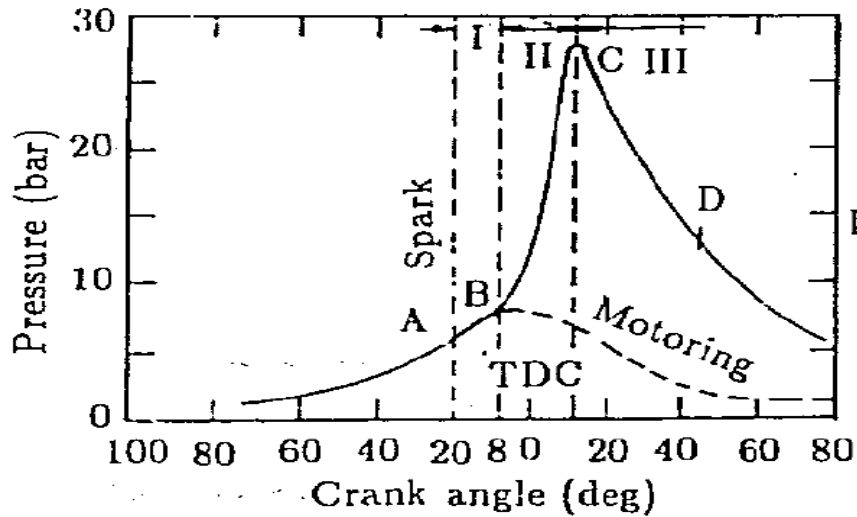
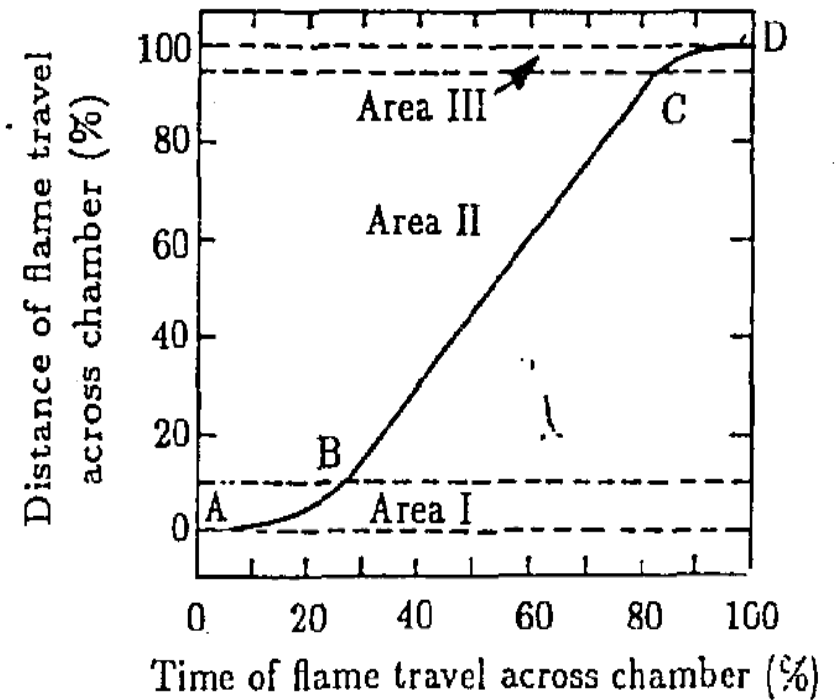
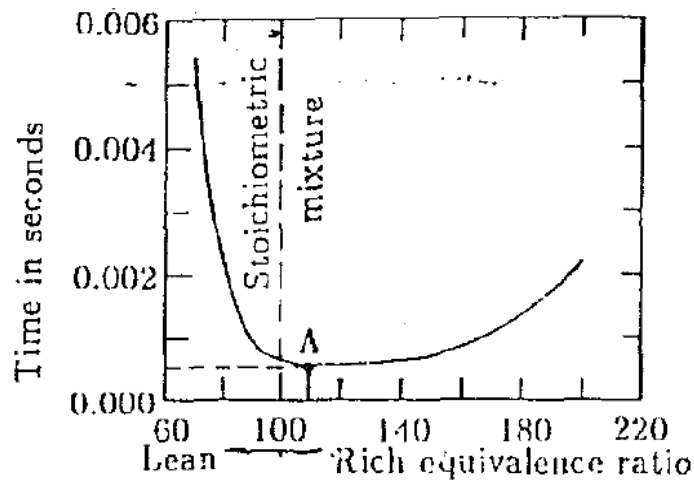


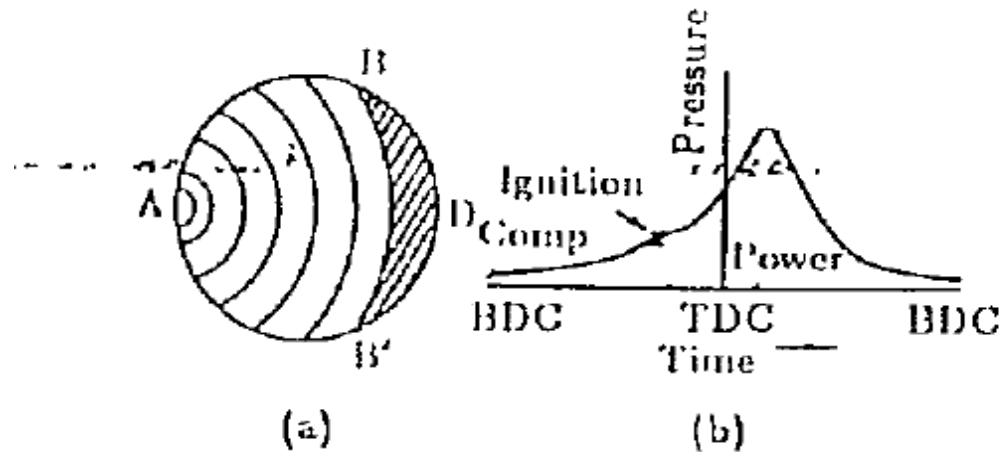
MOTORES DE COMBUSTÃO INTERNA



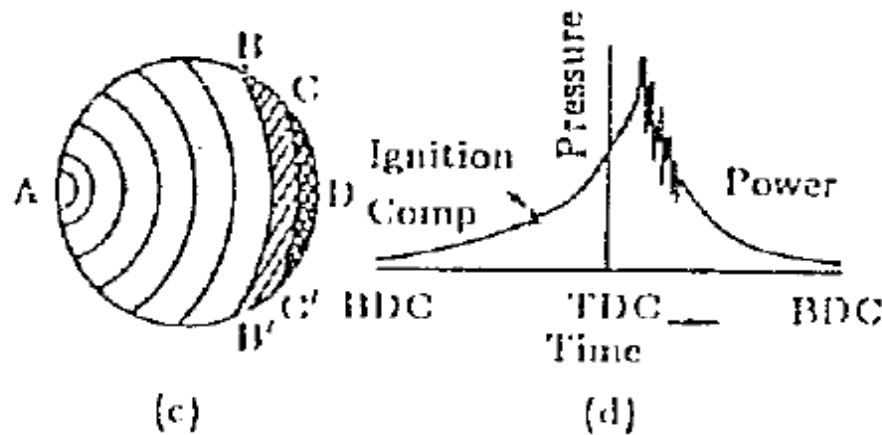
Combustão Motores Otto



MOTORES DE COMBUSTÃO INTERNA



Normal combustion

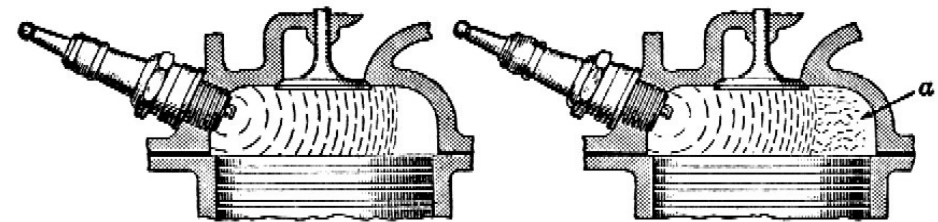
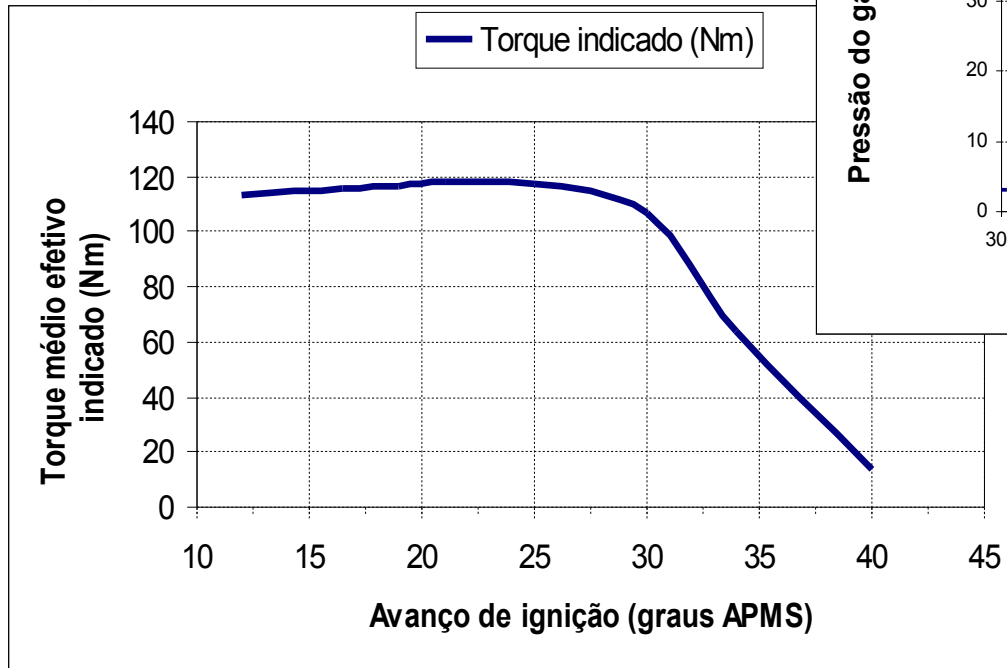
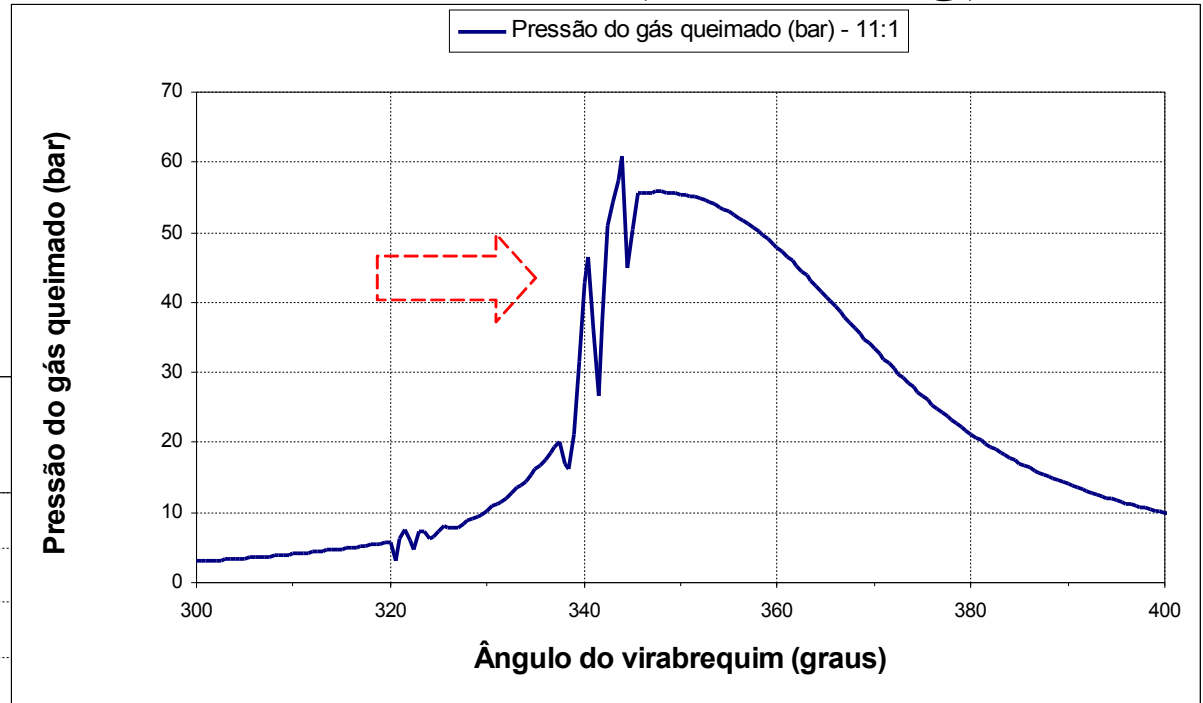
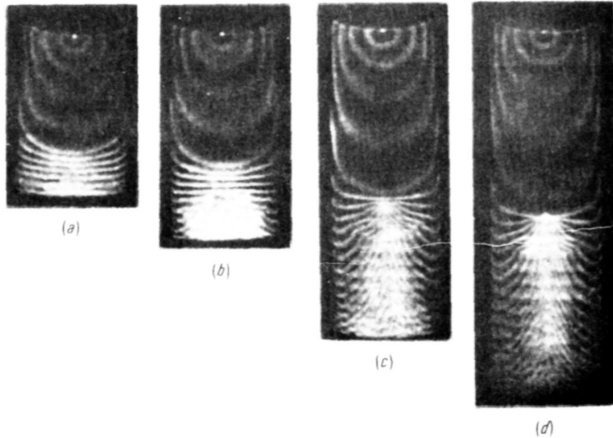


Combustion with detonation

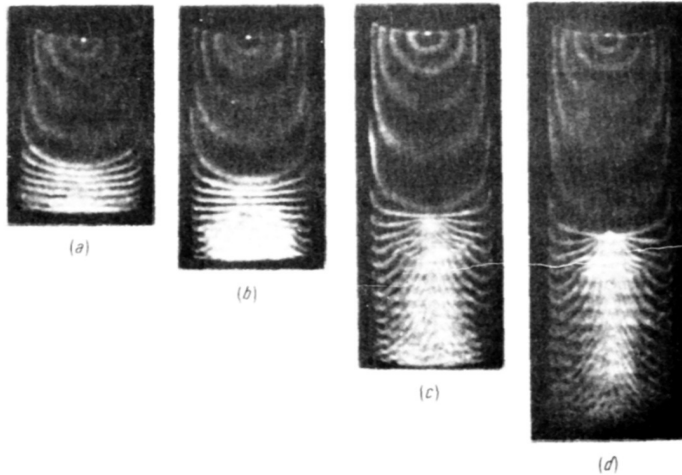
Combustão
Motores Otto
Detonação

MOTORES DE COMBUSTÃO INTERNA

Detonação (knocking)

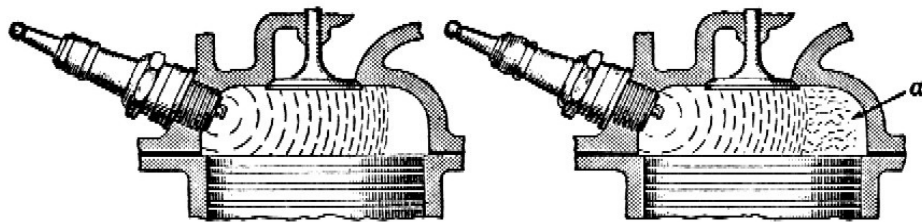
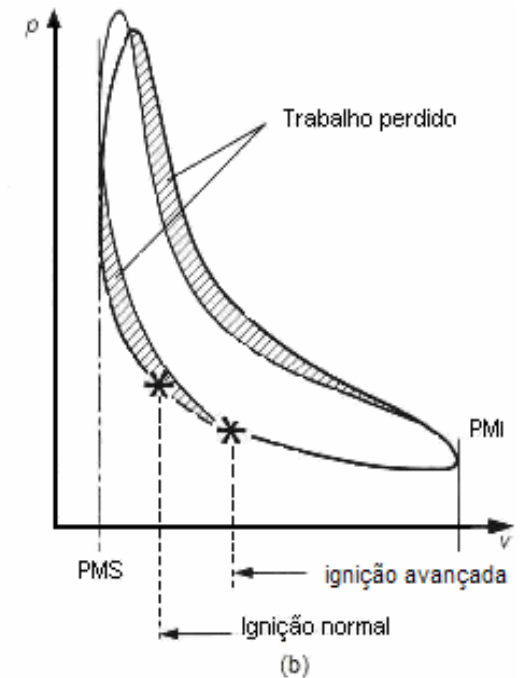
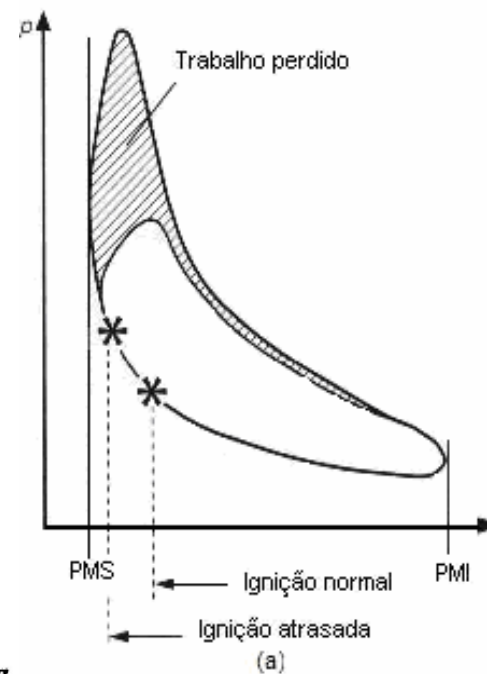


MOTORES DE COMBUSTÃO INTERNA

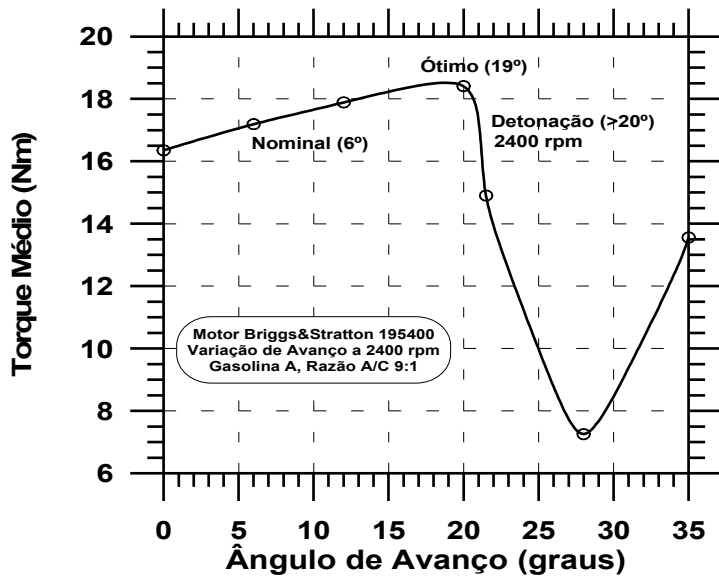
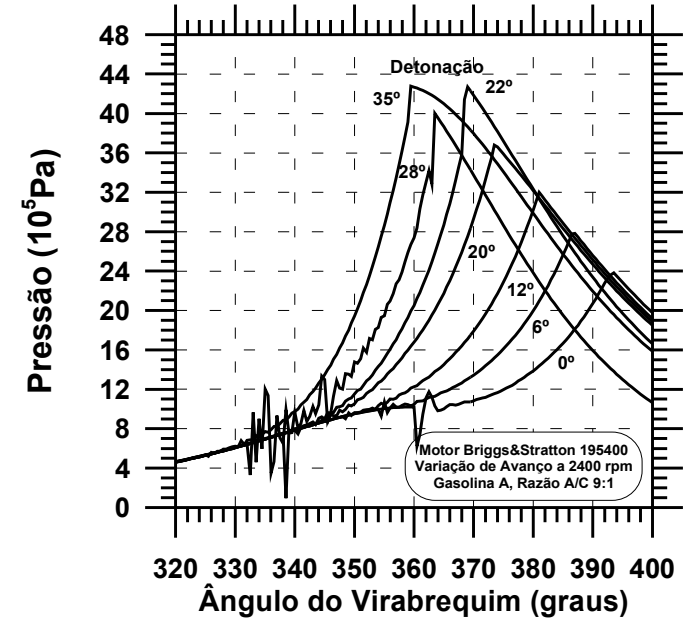
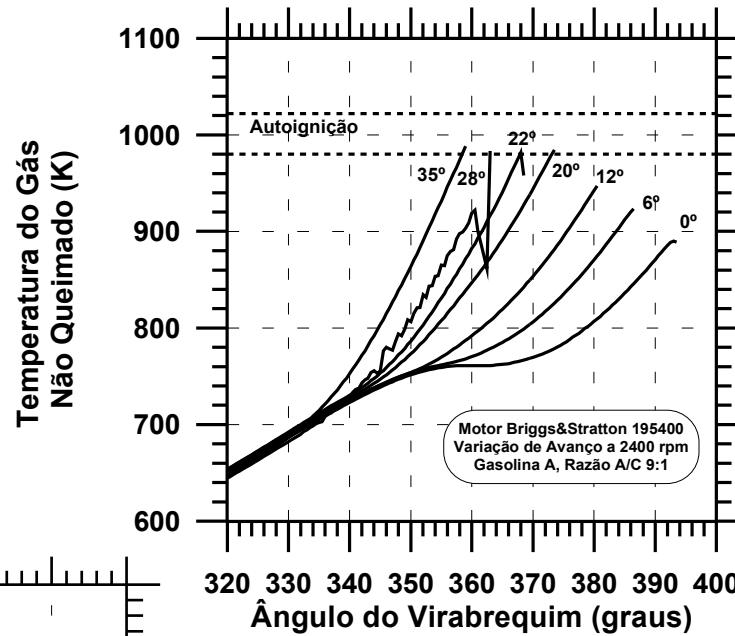


Instabilidade de Taylor-Markstein

Detonação (knocking)

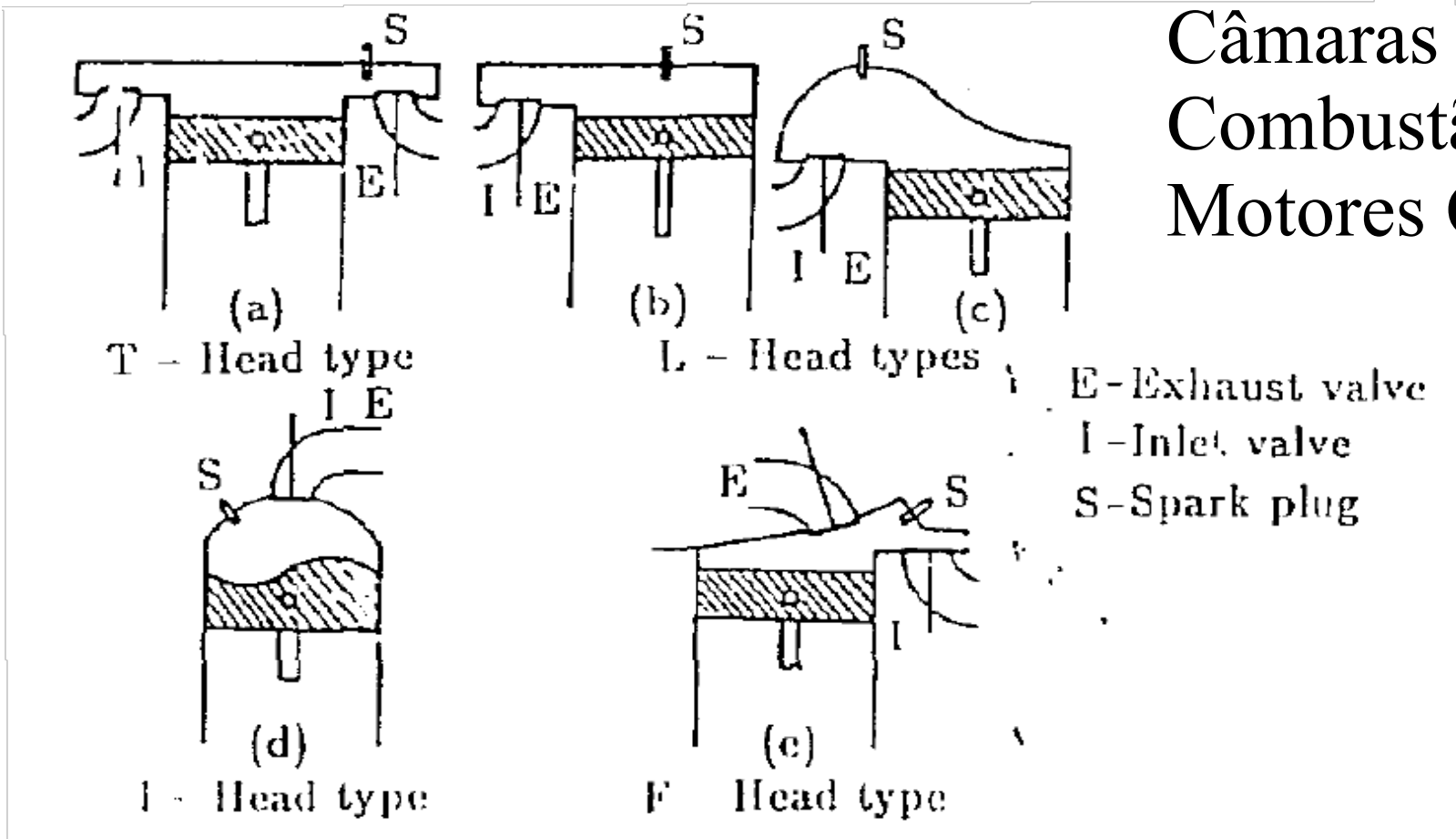


MOTORES DE COMBUSTÃO INTERNA



Detonação (knocking)

MOTORES DE COMBUSTÃO INTERNA



Câmaras de Combustão Motores Otto

MOTORES DE COMBUSTÃO INTERNA

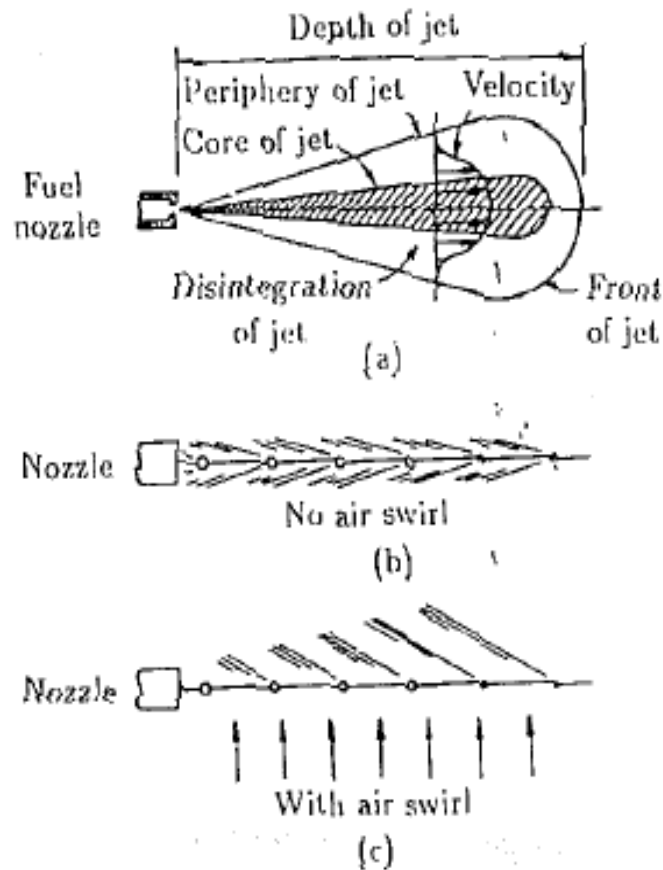
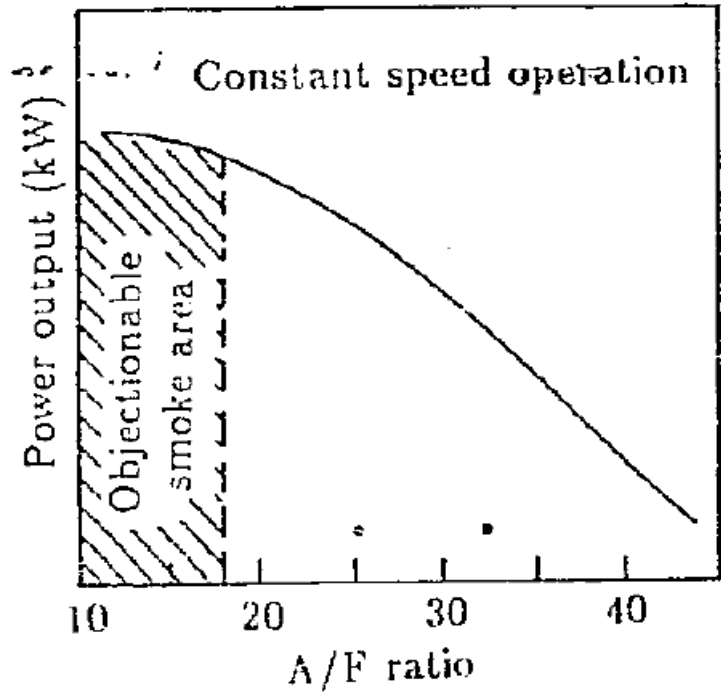
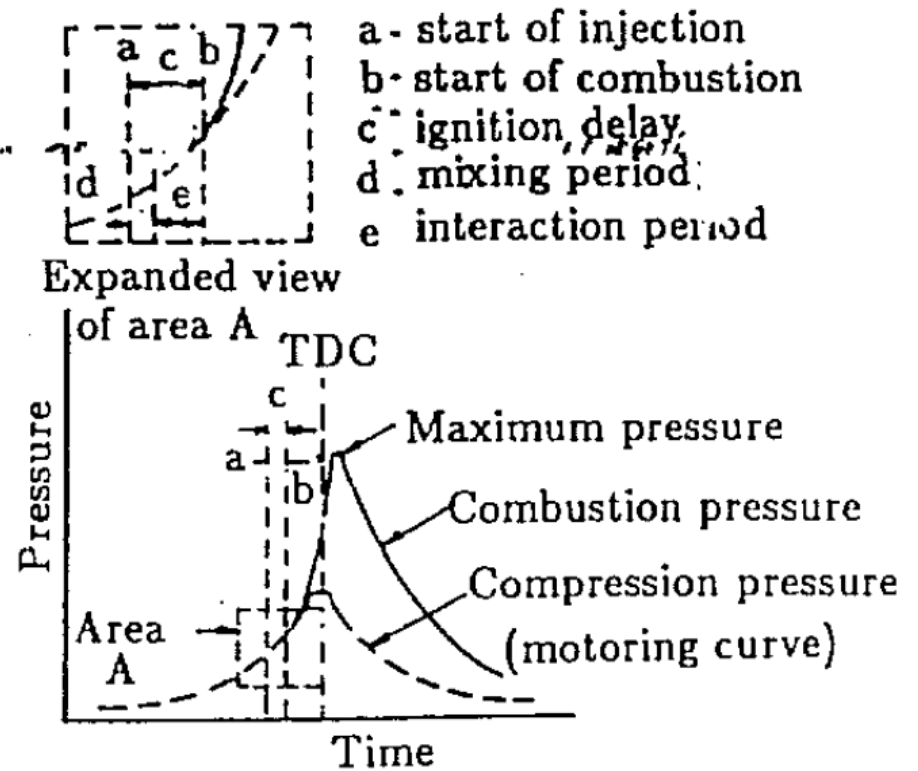
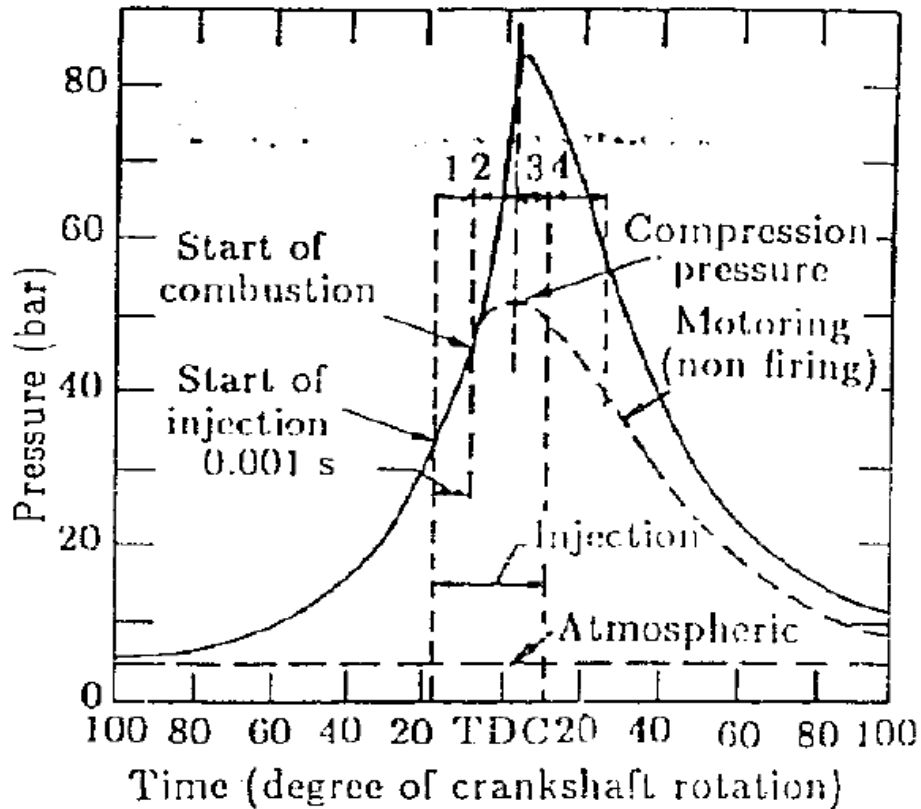


Fig.10.9 Schematic Representation of the Disintegration of a Fuel Jet



Combustão nos Motores Diesel

MOTORES DE COMBUSTÃO INTERNA



Combustão nos Motores Diesel

MOTORES DE COMBUSTÃO INTERNA

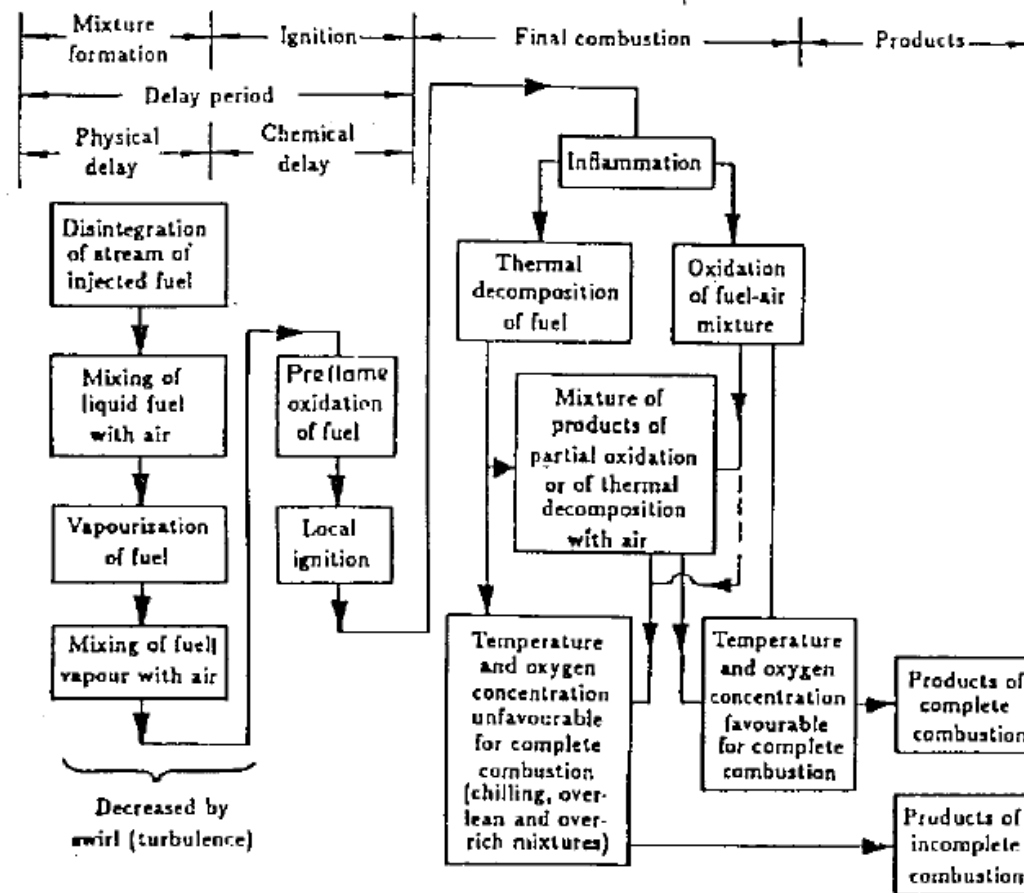


Fig.10.13 Block Diagram illustrating the Combustion Process in a CI Engine

Combustão nos Motores Diesel

MOTORES DE COMBUSTÃO INTERNA

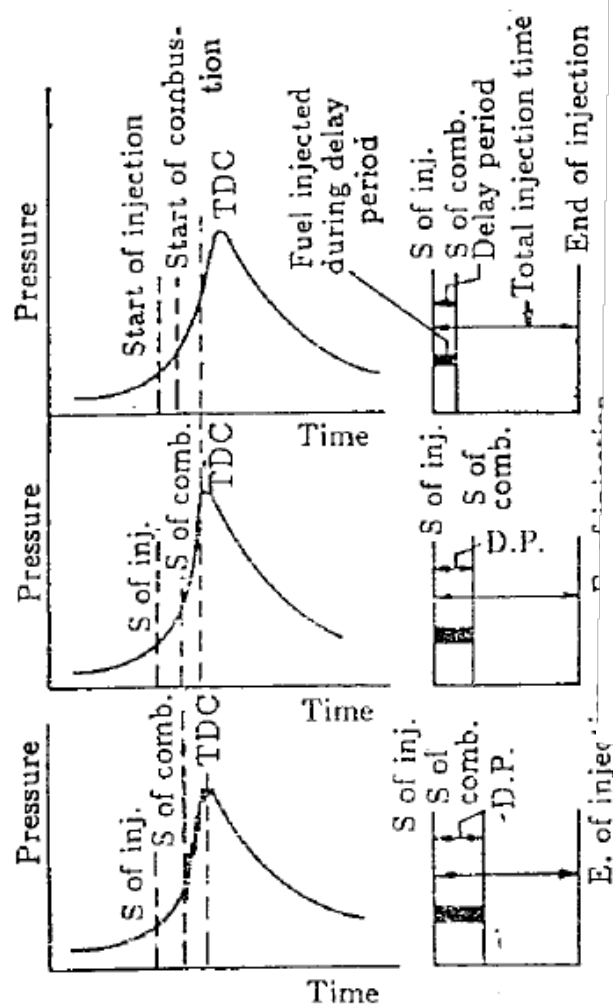


Fig.10.17 Diagrams illustrating the Effect of Ignition Delay on the Rate of Pressure Rise in a CI Engine

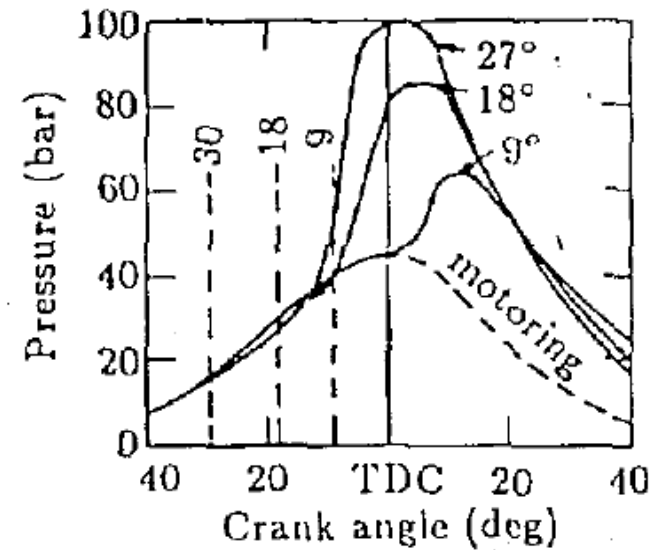


Fig.10.16 Effect of Injection Timing on Indicator Diagram

Combustão nos Motores Diesel

MOTORES DE COMBUSTÃO INTERNA

I.C. Engines

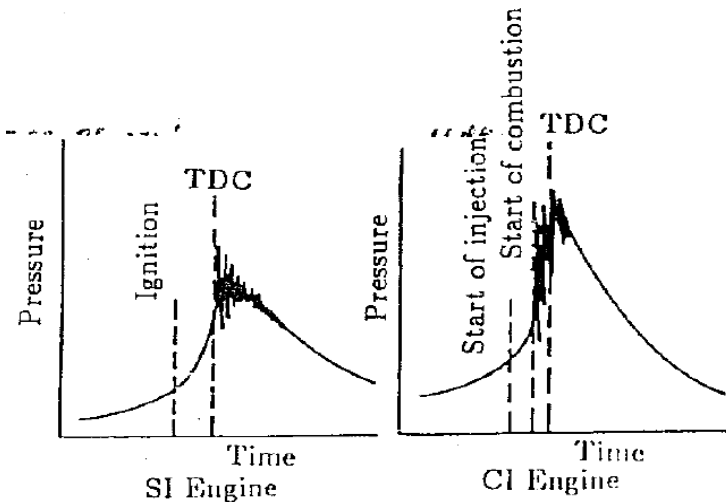


Fig.10.18 Diagrams illustrating Knocking Combustion in SI and CI Engines

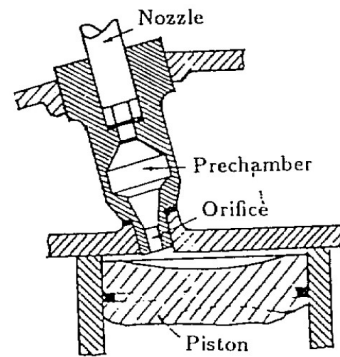


Fig.10.21 Precombustion Chamber

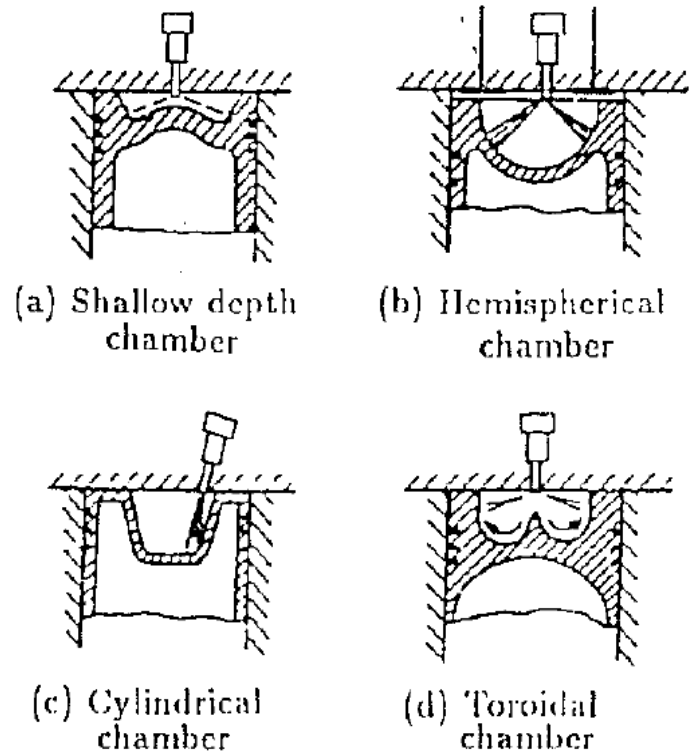


Fig.10.19 Open Combustion Chambers

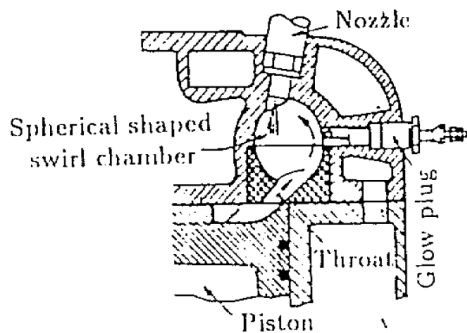


Fig.10.20 Ricardo Swirl Chamber Comet, Mark II

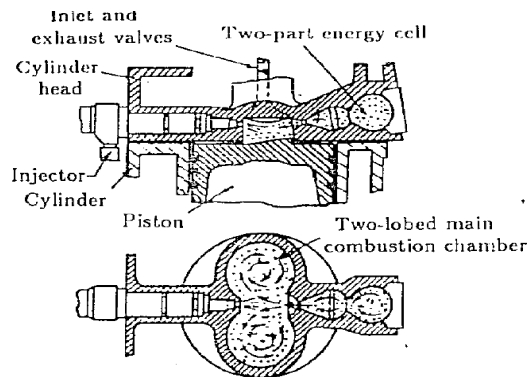


Fig.10.22 Lanova Air-Cell Combustion Chamber

Combustão nos Motores Diesel